

# 大気環境実験用風洞について。

環境庁公害研究所 小川 靖  
溝口 次夫

## 1. はじめに。

大気中にあける汚染物質の物理的な諸現象、すなわち、湍流、移流、拡散等の現象はまだ十分に解明されていない。单一排出源および複数排出源による汚染物質が環境にあたる影響を精度よく推定するシミュレーションの大気汚染制御の上から極めて重要なことはいうまでもない。現在、これらの現象解析は平坦、かつ、均一な場にあける理論に基づいた拡散方程式および同様な条件によって求められた拡散パラメーターによってコンピュータミニマリエーションが行なわれている。しかし、複雑な場におけるミニマリエーションは精度が問題であり、そのため風洞実験によるミニマリエーションがしばしば用いられている。風洞内の気流と大気中の風の流れは、風洞の壁面の影響のため異なる。したがって、相似則の適用等についてはこれらの条件を十分考慮して判断しなければならない。国立公害研究所では来年度末完成を目指して以上の事項を考慮して大気拡散風洞を設計したが、その概要について報告する。

## 2. 風洞による大気拡散実験の問題点。

大気の流れは垂直、水平方向に自由な空間を持つが、風洞内の気流は天井、床、側壁等によって区切られる空間内の流れである。このため大気乱流の渦スケールは観測時間と共に増加するのにに対して、風洞内の渦スケールはその風洞の大きさによって決まっててしまう。

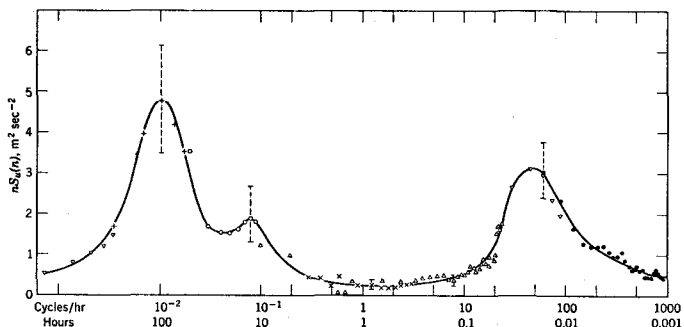


Fig. 1. Schematic spectrum of wind speed near the ground estimated from a study of Van der Hoven (1957).

Fig. 1 は大気中にあける長時間の風速のスペクトラムを示す。大気中ではこの様に数ヶ所の周波数帯域を持ったスペクトラムであるが、風洞気流中で観測されるのは通常右側の高周波領域のみである。従って風洞内で観測される乱れ現象は乱れの周期の短い、渦のスケールの小さい現象である。

又、大気中の風速のスペクトラムの型は大気の安定度によるても異なる。

Fig. 2 には観測時間 1 時間とした時の大気中にあける流れ方向の風速成分の基準化されたスペクトラムがある。横軸はやはり基準化された周波数を使ってある。大気の安定度が安定から不安定になるに従って、周波数の小さい（渦の大きい）乱れを含む領域が大きくなる。

大気中の拡散現象は乱れの大きさ、強さに關係があるから、大気の安定度は拡散現象の重要な要素である事は言うまでもない。しかしながら従来の風洞実験では、これらの大気の安定度や地表面の温度分布などの影響を考慮するに実験がなされている。Fig. 2 に示される如く安定度が異なり乱れの様子が異なり、拡散現象はその拡散パラメーターや濃度分布に影響が現れるので、熱的乱れに起因する拡散現象を無視出来ない。

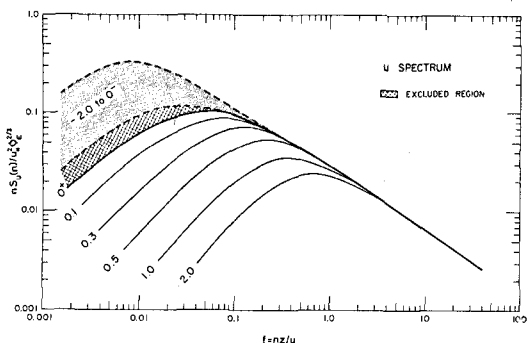


Fig. 2 Longitudinal velocity spectra (Kaimal et al., 1972). The numbers in the figure are values of  $z/L$ .

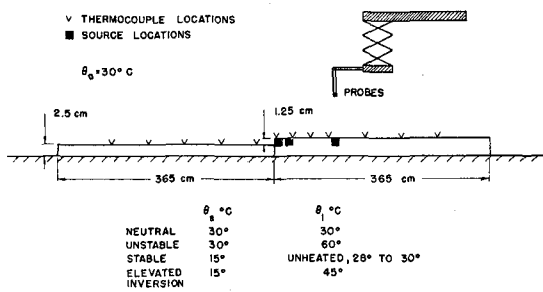


Fig. 3 Schematic of the model. The vertical scale is exaggerated to show the step. A summary of the boundary temperature conditions is given beneath the sketch.

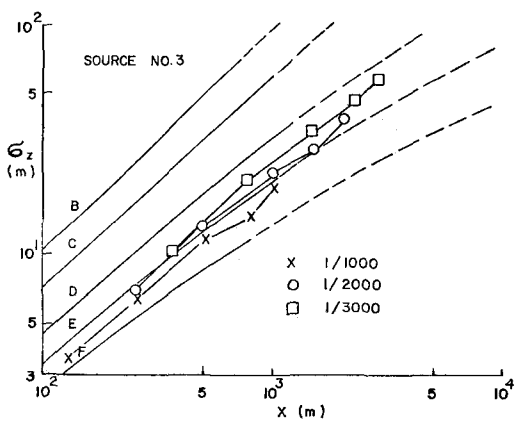


Fig. 4 Variation of  $G_z$  with Scale Ratio (Neutral)

大きくなり、渦のスケールと代表長さとの比は観測時間によって異なる。これに対し風洞内での渦のスケールは、通常観測時間では固定されてしまう。風洞内での渦のスケールを大きくするためには、床面に大きな粗度を置き、乱れを大きくし、拡散の状態を不安定側に寄せ方あるが、通常は粗度形成物の大きさと縮率が大きいと大きくなり、不都合な面が多い。縮率をさらに大きく変化させることにより、渦スケールと代表長さの比を変化させることも出来るが、縮率が大きくなりすぎると実験は無理になる。渦のスケールの相似の問題は特に横方向の拡散が、風洞の壁により制限を受け、むずかしい。

熱的影響を考慮した風洞実験の1例として海風の拡散における影響の結果を示す。使用した風洞は New York 大学の  $1.1 \times 2.2 \times 10^3$  (高さ×幅×長さ) の測定部を得、吹込み型の環境用風洞で、実験の概略図を Fig. 3 に示す。風洞内の気流温度  $\theta_a = 30^\circ\text{C}$  とし、床面の温度を変化させることにより、Neutral, Unstable, Stable, Elevated Inversion の状態を作った。実験では陸側から海側より  $1.25\text{ cm}$  で高さが高くなっている。海岸線までの高さ  $25\text{ cm}$ ,  $100\text{ cm}$  の間に  $34$  所地表面源を設けてある。海側の  $365\text{ cm}$ 、陸側の  $365\text{ cm}$  を冷却したり加熱したりして各種のコンディションを作ったが、Fig. 3 中にその温度条件を示してある。平均風速、湿度、乱れ成分、ストレス成分などの流出場の測定の他、各地表面源からのトレーサーガスの濃度の測定も行なっている。濃度の水平、垂直分布より  $G_z$ 、 $G_x$  が計算されるが、それを大気中で観測された Paugnill の線図との比較をおこなってみた。

Fig. 4 には Neutral の条件で Source No. 3 (海岸線より  $100\text{ cm}$  風下にある地表面源) からの測定された  $G_z$  と、実測値との比較のために風洞実験での縮率  $1/3000$ ,  $1/2000$ ,  $1/1000$  として Paugnill の線図にプロットしたものと示す。縮率が  $1/1000$  の場合、風洞実験値は Paugnill のカテゴリ E~F の間、 $1/2000$  の場合は略々 E,  $1/3000$  の時は D~E の間に当る。この点で風洞実験での縮率を変える事により、風洞内での大気の状態をある程度は変えられるが、その範囲は小さい。

大気中の渦のスケールは観測時間を長くすれば

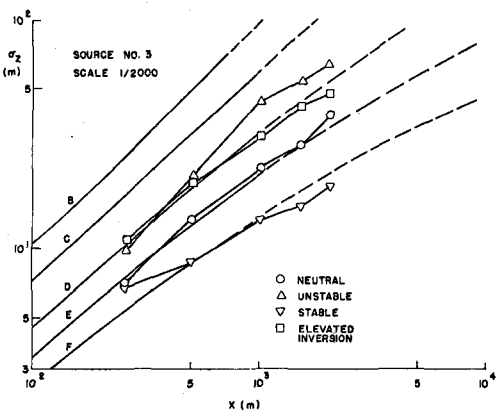


Fig. 5 Comparison of wind-tunnel results for  $\sigma_x$  with Pasquill's curves. The wind-tunnel data have been multiplied by a scale ratio of 2000:1, as explained in the text.

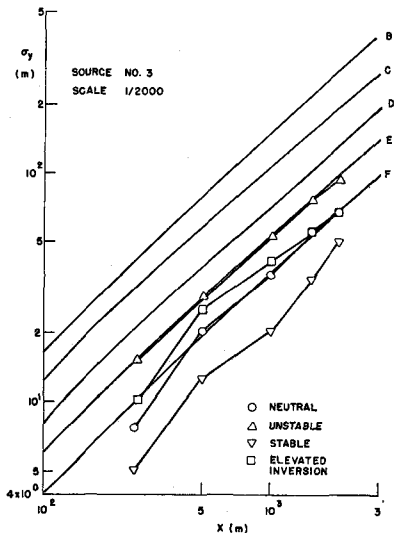


Fig. 6 Comparison of wind-tunnel results for  $\sigma_y$  with Pasquill's curves. The wind-tunnel data have been multiplied by a scale ratio of 2000:1, as explained in the text.

ではならなくなつたが、この様な地域の回転に伴う現象は通常の風洞ではシミュレートする事は不可能である。しかしコリオリの力を考慮してはならぬのならば、風洞実験でシミュレート出来た範囲にも限界がある事になる。

### 3. 国立公害研究所大気環境実験用風洞について

#### 3-1 風洞設計の基本的な考え方

オエ章に示した様な風洞実験の問題点をもとめて、公害研究所では次の様な点に留意して風洞のデザインをおこなつた。

- (a) 風洞側壁の影響を小さくするため、風洞測定部の断面の大きさを極力大きくする。
- (b) 風下方向への Zero Pressure Gradient を満足する様に、測定部の天井高さは可変とする。
- (c) 風洞内気流速度、測定部床面温度、および垂直気流温度分布の、それから独立したコントロール機構。

Fig. 5, 6 に前述した各種の実験条件での結果を Pasquill の線図にプロットしてみた。Fig. 5 の  $\sigma_x$  を見ると stable の条件での結果は Pasquill のカテゴリ F に、Neutral は E に Unstable は C~D の間にあり、風洞実験は略々 1 階級 安定側に寄っている。

Fig. 6 の  $\sigma_y$  については Unstable がカテゴリ E に、Neutral が F, Stable は F よりも安定側に寄って、略々 2 階級 安定側に位置する。

この風洞実験での  $\sigma_y$  は Pasquill の線図に一致させるためには  $\sigma_y$  を 2.5 倍すると、Unstable は B~C の間、Neutral は C~D の間、そして stable は D~E の間にあつまつ。Pasquill の線図が 10 分間の観測時間として作られたものであるから、もし  $\sigma_y$  が観測時間の 1/2 番目で大きくなるとすれば、今回の風洞実験の結果は 1.6 分の大気中の観測時間の現象を再現している。この様に風洞内で観測出来た現象は風洞を用いた空間によって生ずる制限された渦による現象であり、従って限られた観測時間での現象がシミュレートされるのに止まる。

しかしこれは風洞の大型化や風向の変動を適当な方法でシミュレートする事により、解決は可能であると考えられる。

問題は現象のスケールが大きくなると大気中ではコリオリの転向力による影響を考えなくてはなりません。

- (a) 風洞内風速、および測定部の垂直風速分布の、それより独立したコントロール機構。  
 (c) (b)、および(d)の機構の独立、および運動機構によって広範囲な大気の安定度グレードをもつて測定部を出せる機構。  
 (e) 流れ場、および空気密度場の測定と短時間に精度良く出来ることのための統合システム。  
 (f) 測定部を出るときに有効に使うために、壁面から発達する境界層の除去。しかし、境界層を吹き飛ばす場合、吹き飛ばす空気量が大きくなると温度コントロールが乱れるため、当風洞ではおこなわれない。

### 3-2 風洞の概略

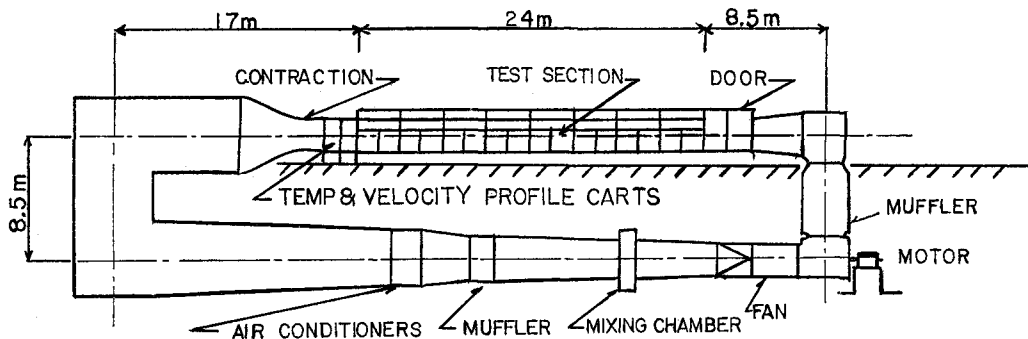


Fig. 7 Side View of the Wind Tunnel

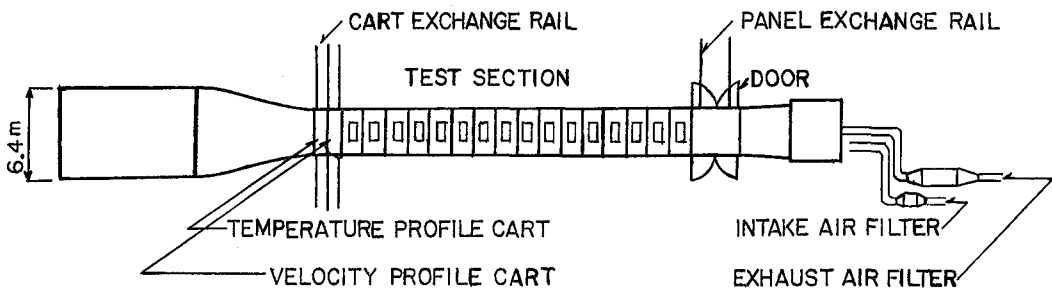


Fig. 8 Top View of the Wind Tunnel

Fig. 7, 8 に風洞の側面と上面図を示す。風洞は密閉回流型で、測定部上位置の垂直型になっている。回流部を地下に設けたのは、騒音のレベルを下げるためと、風洞内気流の温度コントロールをよくするためである。風洞全体の一般的なデバイスについて述べると：

- (a) 騒音レベルを測定室で 60 分貝以下にするため、送風機の入口部と下流に消音器が内蔵されている。
- (b) 送風機は後置静翼单段軸流式、口径 2,200 mm、軸長 3,000 mm、回転数 720 RPM、伝達軸と介して直流電動機(定格出力 70 kW)に直結。電動機はサイリスタ - レイナード コントロールとする。
- (c) 測定部を作らせて温度分布や濃度分布を回流部で一様にするため、機関は人間を内蔵していない。
- (d) 風洞内気流の温度は温度調節器によってコントロールされる。これは 113°C の温水を用いて最大  $2.67 \times 10^5$  Kcal の温水コイルと 7°C の冷水で最大  $5.4 \times 10^5$  Kcal の冷却能力を持つコイルによってあらわされる。

気流温度のコントロールは、コイル内の流量を一定とし、流水の温度を変化させる。測定部気流速度 $5\text{m/sec}$ の時、気温を $15^\circ\text{C} \sim 87^\circ\text{C}$ まで変化させうる能力を持つ。測定部内での風速の垂直分布は床面の加熱、冷却と温度調節用カートによつておこなわれる。

- (e) 拡大部ひの拡がり角は $45^\circ$ 以下で、又、縮流比は $5:1$ とする。
- (f) 測定部内ひの温度の垂直分布は床面の加熱、冷却と温度調節用カートによつておこなわれる。
- (g) 測定部内での風速の垂直分布は床面の粗度の変化と速度調節用カートによつて作られる。
- (h) 実験により汚染された空気は活性炭フィルターにより淨化されたのち放出される。

### 3-3. 測定部

- 測定部の大きさは $2\text{m} \times 3\text{m} \times 24\text{m}$  (高さ×幅×長さ) で、 $3\text{m}$ 毎のセクション 8枚から成つてゐる。片側の側面は $1.3\text{m} \times 1.4\text{m}$  (高さ×幅) のラミネートの16枚のパネルよりなり、全長にわたり鏡面測定窓が設けられてゐる。反対側は中央部のパネルが観測窓になつてゐる。
- 天井面は測定部風速が $5\text{m/sec}$ の時に生ずる境界層の影響を緩和するための曲線を示すものである。またこれよりも $\pm 20\text{cm}$ の範囲で高さ可変となつてゐる。このため天井面は16の $1.5\text{m}$ セクションから成り、そのどこかで上から釣り下げる形であり、モーターの駆動によつて高さを変化せらる。
- 測定部に設けられたトラバース装置は X軸 20m, Y軸 中心より $\pm 1.1\text{m}$ , Z軸 床面より $1.3\text{m}$ の範囲で動く。今動かすとコンピュータに沿つて位置決めをあこなえるものである。
- 測定部の床面は様々な実験条件に対応出来る様に5種類の交換可能なパネルによつて成つてゐる。1枚のパネルの大きさは $3\text{m} \times 3\text{m}$ 。以下に5種類のパネルを示す。
  - (1) 冷却・加熱用パネル。8枚のパネルはそれぞれ独立に熱交換器を持ち、加圧温水( $113^\circ\text{C}$ )と冷水( $6^\circ\text{C}$ )を使ふ事により、表面温度を $7^\circ\text{C} \sim 112^\circ\text{C}$ の範囲で変化出来る機能を有する。但し、測定部測速 $5\text{m/sec}$ の気流温度 $32^\circ\text{C} \sim 87^\circ\text{C}$ の範囲とする。
  - (2) 地表面粗度変化パネル。このパネルは約 $400(20\text{ft} \times 20\text{ft})$ の千鳥状に配置されたワニの頭に対する角度を変化させて任意の地表面粗度を得られる所である。
  - (3) 地表面Y-Sパネル。このパネルは風に対して直角に長さ $250\text{cm}$ 、幅 $0 \sim 5\text{cm}$ の間で任意に開ける地表面源を持てゝる。又、風下中心線上に46点の地表面粗度測定用の穴を有し、2次元的な抗散実験に使用される。
  - (4) 抗散実験用パネル。これは6箇所よりトレーカガス放出用の集合部を持ち、又、1000点以上のセンサー $= 4^\circ \times 7^\circ$ を持つてゐる。
  - (5) タニテアル用パネル。直径 $250\text{cm}$ のタニテアルを有するパネルで外部よりの信号によって駆動され、その角度を $200$ 度の範囲で変化出来る。

### 3-4. 風洞の熱的性能

風洞内の気流温度あるいは温度の垂直分布は 温度調節器、測定部の床面の冷却・加熱 および 温度調節用カート(後述)とそれぞれ独立、又は連動させる事によつて任意のものが得られる。Fig. 9に代表的な温度の概略を示す。但し、 $T_a$ : Ambient Temperature,  $T_s$ : Surface Temperature,  $\Delta T = T_a - T_s$

Case 1.  $T_a = 87^\circ\text{C}$ ,  $T_s = 7^\circ\text{C}$ , 従つて  $\Delta T = 80^\circ$  (最大温度差)

Case 2.  $T_a = 32^\circ\text{C}$ ,  $T_s = 112^\circ\text{C}$ , 従つて  $\Delta T = -80^\circ$  (最小温度差)。この場合  $T_a$  は  $15^\circ\text{C}$ までの必要に応じて下げる所。

Case 3. Case 1 と 2 の中間に Case 2, 床面パネルの内一枚が $7^\circ\text{C}$ に残りの4枚が $112^\circ\text{C}$ に保たれてゐる状態で、 $T_a$  は  $15^\circ \sim 87^\circ\text{C}$ の任意の温度を達べる。

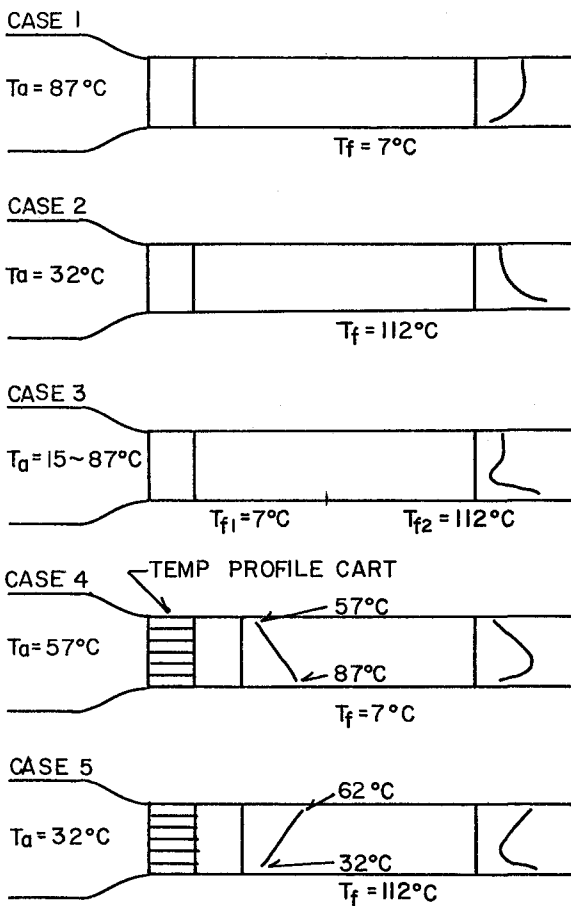


Fig. 9. Temperature Design Specifications

### 3-5 流体力学的性能

測定部内での風速は送風機の回転数とダニバーの角度の制御により、 $0.1\%/\text{sec} \sim 10.0\%/\text{sec}$ まで選択可能である。但し速度成層、温度成層用カートが使用されている場合は最高風速は $5.0\%/\text{sec}$ である。測定部入口での速度分布の一様性は $1\%$ 以内の誤差とし、乱流強度は $0.5\%/\text{sec}$ 以上の風速で $0.5\%$ 以下である。外部からの空気の侵入を防ぐため、測定部は正の圧力を持つものである。

#### 速度成層用カート

各種の速度分布が必要な場合、速度成層用カートを測定部入口に設ける。その大きさは $2\text{m} \times 3\text{m} \times 1.2\text{m}$ (高さ×幅×長さ)で、温度成層用カートと連動して使われる場合、温度成層カートの後部に位置する。カートは $10\text{cm}$ 間隔で $20$ 段にわかれ、各段には3枚の $9.2\text{cm} \times 300\text{cm}$ のプレートにそれから $200\text{cm}$ のスリットが $10\text{cm}$ の間隔で開いてあるものを内蔵する。このプレートの内2枚を引あわせ3枚に動かし、気流の通過断面積を変化させることにより流速を変える。各段は外部より独立にコントロールされ、直線、斜線、対数、指數曲線などの風速分布が得られる。この方式は佐藤浩教授により開発され、さらに同時に温度成層用カートを使つて各種の安定度を持つ速度、温度分布を作られていく。

**Case 4.** 温度成層用カートを使用する。 $\therefore$  由此に $\pm 30\%/\text{cm}$ の温度差が作れる。 $\therefore$  Case 5 では不安定成層を作、そのため  $T_f = 7^\circ\text{C}$  として  $\Delta T = 80^\circ\text{C}$  に保つてある。

**Case 5** カートに $\pm 30\%$  安定成層を作った場合じ、 $T_f = 112^\circ\text{C}$   $\Delta T = -80^\circ\text{C}$  に保つてある。

#### 温度成層用カート

安定、不安定およびこれらの混合とした温度成層を作るために、 $2\text{m} \times 3\text{m} \times 1.2\text{m}$ (高さ×幅×長さ)の温度成層用カートが必要に応じて測定部入口に設けられる。カートは $10\text{cm}$ 間隔で $20$ 段に分割され、各段には3枚の $12\text{cm} \times 12\text{cm}$ のヒーズヒータと、水平方向の温度差補正用の12枚のヒーズヒーターが内蔵されている。

風速が $5\%/\text{sec}$ の時に気流温度を $30^\circ\text{C}$ だけ上昇させる機能を持ててあり、各段はサイリスターにより温度のコントロールが可能である。このカートは坂上教授によりデザインされ、成功をあげてある。

### 3-6. 計測機器

当風洞には計測機器として、風速、圧力、温度、湿度、トーサーゲスの濃度を測定する機器を備えつゝある。

#### 速度場の測定

- ①) 温度補償型の超音波風速計（測定部風速のモード用）
- ②) ポート管とバラatron
- ③) 热線風速計 3ロット (DISA)
- ④) 2ロット L-G 流速計 (DISA)
- ⑤) 振動式微風速計 (DISA)

#### 温度場の測定

気流の温度の測定には熱線風速計を cold wire として使う。床面の温度分布や温度成層用カート下流ひの垂直温度分布はサーモカップルと多点データ集録システム (II=アライナー, A-D 変換器内蔵) によって集録される。

#### 濃度測定

トーサーゲスとしてエタニガスを用いる場合には 2 台の全炭化水素計 (ベックマン社) を使う。その他ガス質量分析計 (多電極イオン検出器付き) により SF<sub>6</sub>, CF<sub>4</sub>, および 2 種類のフレオニガスの 4 種類のトーサーゲス濃度の同時測定がみこなされる。

### 3-7 データ解析

データの解析はミニコンピューター、相関確率器、スペクトルアナライザーによっておこなわれる。温度成層内での流れ場の測定のために、高速入力用として 34 マニホールド以上, 10<sup>-4</sup> sec, 同時刻の取り込みと、通常入力用として 40 マニホールド, 10<sup>-3</sup> sec 以上の取り込みの 2 種類を有している。ミニコンピューター 32 KW, ティスク 2 台 M.T. 1 台, 敗アーフ入・出力, タイマー, カラーテイストローラー, X-Y フォローラー等のユニットがあり、出来たばかり実験、測定、解析が自動化されており便利である。

### 4.まとめ

国立公害研究所では従来の風洞実験での結果を参考にして、新たに大型の大気環境実験用風洞をデザインした。多様な大気中での乱れ現象を再現するためには、風洞に要求される性能は多く、全てを満足することは出来ない。今回の風洞は特に Thermal Stratification の影響を考慮してデザインされた。しかしながら、例えば成層カート後の乱れ、擾乱器の性能、さらに成層の作り方等まだまだ解決しなくてはならぬ問題は残されている。

おわりにあたり当風洞のあり方につけて 3 年にわたり調査、研究をしていただきました 坂上治郎、佐藤浩、井上力太、竹内清秀、小橋寅次郎、長洲秀夫、岡本哲史、小沢行雄、恩田喜雄、遠藤浩先生方に感謝いたします。

J. C. Kaimal, J. C. Wyngaard, Y. Izumi and O. R. Cole, "Spectral Characteristics of Surface Layer Turbulence" Quart. J. Roy. Meteor. Soc., 98, 1972, 563-589.

日本気象協会 "大型大気環境実験施設に関する調査研究 最終報告書" 1969

Y. Ogawa, R. Griffiths, and W. G. Hoydysh, "A Wind Tunnel Study of Sea Breeze Effects" Boundary-Layer Meteorology 8, 1975, pp. 161-181.